

## 흰쥐 해마에서 Acetylcholine 유리에 미치는 Adenosine 수용체의 역할

원광대학교 의과대학 약리학교실, 조선대학교 유전공학과\*

최 봉 규 · 김 도 경\*

=Abstract=

### The Role of Adenosine Receptors on Acetylcholine Release in the Rat Hippocampus

Bong Kyu Choi and Do Kyung Kim\*

Department of Pharmacology, Wonkwang University School of Medicine, Iri 570~749, Korea

Department of Genetic Engineering, Chosun University, Kwangju 501-759, Korea\*

As it has been reported that the depolarization induced acetylcholine(ACh) release is modulated by activation of presynaptic A<sub>1</sub>-adenosine heteroreceptor and various lines of evidence indicate the A<sub>2</sub>-receptor is present in hippocampus, this study was undertaken to delineate the role of adenosine receptors on hippocampal ACh release. Slices from the rat hippocampus were equilibrated with [<sup>3</sup>H]-choline and the release of the labelled product, [<sup>3</sup>H]-ACh, which evoked by electrical stimulation(3 Hz, 5 Vcm<sup>-1</sup>, 2 ms, rectangular pulses) was measured, and the influence of various agents on the evoked tritium outflow was investigated.

Adenosine(0.3~100 μM) and CPA(0.1~30 μM) decreased the [<sup>3</sup>H]-ACh release in a dose-dependent manner without changing the basal rate of release. DPCPX(1~10 μM), a selective A<sub>1</sub>-receptor antagonist, increased the [<sup>3</sup>H]-ACh release in a dose related fashion with slight increase of basal tritium release. And the effects of adenosine and CPA were significantly inhibited by DPCPX(2 μM) treatment. CPCPA, a specific A<sub>2</sub>-agonist, in concentration ranging from 0.3 to 30 μM, decreased the evoked tritium outflow, and these effects were also abolished by DPCPX(2 μM) treatment. But the CPCPA effects were not affected by DMPX(2 μM), a specific A<sub>2</sub>-antagonist, treatment. However, CGS 21680C, a recently introduced potent A<sub>2</sub>-agonist, in concentration ranging from 0.1 to 10 μM, did not alter the evoked tritium outflow.

These results indicate that the decrement of the evoked ACh release by adenosine is mediated by A<sub>1</sub>-heteroreceptor, but A<sub>2</sub>-adenosine receptor is not involved in ACh release in the rat hippocampus.

---

**Key Words:** Acetylcholine(ACh), Adenosine, Adenosine Receptor, CPA, DPCPX

---

<sup>1</sup> To whom correspondence should be addressed.

## 서 론

Adenosine 수용체는 adenylyate cyclase를 억제하여 세포내 cAMP 농도를 감소시키는 A<sub>1</sub>-아형과 adenylyate cyclase를 활성화시켜 cAMP 농도를 증가시키는 A<sub>2</sub>-아형으로 나뉘어지며(Daly 등, 1983; Hamprecht and Van Calker, 1985), 중추신경계에서 acetylcholine(ACh), norepinephrine(NE), 5-hydroxytryptamine(serotonin) 및 glutamate 등 신경전달물질의 유리는 adenosine에 의해 억제되고 여기에 A<sub>1</sub>-아형이 관여함이 알려진 바 있다(Jackisch 등, 1985; Fredholm 등, 1986a; Fredholm and Lindgren, 1987). 특히 해마조직에서 ACh 유리는 전연접부의 무스카린성 수용체의 활성에 의해서만(Hertting 등, 1987; Choi 등, 1991)이 아니라 전연접부 A<sub>1</sub>-adenosine 수용체의 활성에 의해서도(Jackisch 등, 1984; Choi 등, 1992) 억제될 수 있음이 보고된 바 있다.

한편 중추에는 말초에서와 같이 adenosine 수용체중 A<sub>1</sub>- 및 A<sub>2</sub>-아형 모두 존재함이 보고(Brunns 등, 1987; Stone 등, 1988)된 바 있고, Spignoli 등(1984)은 뇌 피질막에서 A<sub>2</sub>-아형의 자극시 ACh의 유리가 증가됨을 보고한 바 있으며, Fredholm 등(1986b)은 해마에서 A<sub>2</sub>-아형의 흥분약물에 의하여 조직내 cAMP 농도가 증가함을 밝힌 바 있다. 그러나 말초조직에서의 A<sub>1</sub>- 및 A<sub>2</sub>-아형의 adenosine 수용체의 기능적 역할이 분명하게 다른데 비하여 중추에서는 아직도 adenosine 수용체의 생리적 역할이 뚜렷하지 않다.

따라서 저자들은 본 연구에서, 흰쥐 해마에서 ACh 유리에 미치는 adenosine의 영향을 관찰하고 아울러 A<sub>1</sub>- 및 A<sub>2</sub>-아형의 선택적 흥분약물 및 차단약물들의 영향을 관찰하여 ACh 유리에 관여하는 A<sub>1</sub>- 및 A<sub>2</sub>-아형의 역할을 구명하고자 하였다.

## 실험 재료 및 방법

흰쥐(Sprague-Dawley, 250~300 gm)를 암수

구별없이 단두기를 사용하여 두부를 떼어낸 후 곧 절개하여 얼음위에서 해마(hippocampus)를 손상이 가지 않도록 적출한 다음 조직절단기(tissue chopper, Balzers<sup>®</sup>)를 이용 0.4 mm의 두께로 절단하여 중간부위만을 실험에 사용하였다. 절단한 조직들을 0.1 μmol/L의 <sup>3</sup>H-choline이 함유된 영양액(modified Krebs-Henseleit solution)에 37°C로 30분간 평형시킨 다음 영양액으로 잘 쟁어 관류장치(superfusion chamber)에 옮긴 후 95% O<sub>2</sub> 및 5% CO<sub>2</sub>로 포화시켜 pH를 7.4로 맞추고, 10 μM의 hemicholinium-3와 30 nM의 atropine을 함유한 영양액을 분당 1 ml의 속도로 관류시켰다. 관류시작후 45분부터 5분 간격으로 관류액을 채집하였으며, 60분(S<sub>1</sub>) 및 120분(S<sub>2</sub>) 두차례에 걸쳐 전기자극(구형파, 3 Hz, 2 ms, 24 mA, 5 Vcm<sup>-1</sup>, 2 min)을 하였다. 약물 투여는 S<sub>1</sub>과 S<sub>2</sub> 사이에 실시하였으며, 실험종류후 조직을 조직용해액(0.5 N quaternary ammonium hydroxide in toluene)에 녹혔다. 채집관류액 및 조직용해액내의 3종 수소의 측정은 liquid scintillation counter (Beckman<sup>®</sup> LS5000 TD)로 하였으며, 단위 분당 유리되는 3종 수소 양은 Hertting 등(1980)의 방법에 의하여 계산하고, 이때 유리되는 acetylcholine(ACh)의 양은 조직내 함유된 양에 대한 백분율(%)로 나타내었다. ACh 유리에 미치는 약물들의 효과는 S<sub>2</sub>/S<sub>1</sub>으로 추정하였으며 기저유리는 S<sub>1</sub>과 S<sub>2</sub> 직전의 유리량인 b<sub>2</sub>/b<sub>1</sub>으로 계산하였다.

실험에 사용한 영양액의 조성(mM)은 NaCl 118, KCl 4.8, CaCl<sub>2</sub> 1.3, MgSO<sub>4</sub> 1.2, NaHCO<sub>3</sub> 25, KH<sub>2</sub>PO<sub>4</sub> 1.2, glucose 11, ascorbic acid 1.57, Na<sub>2</sub> EDTA 0.03이었으며, 약물들은 [methyl-<sup>3</sup>H]-choline chlorine(72~78 Ci mmol<sup>-1</sup>, Amersham), hemicholinium-3(Sigma) atropine sulfate(Sigma) adenosine(RBI), CGS-21680 HCl(RBI), N<sup>6</sup>-cyclopentyladenosine(RBI), 5-(N-cyclopropyl)-carboxamidoadenosine(RBI), 8-cyclopentyl-1,3-dipropylxanthine(RBI) 및 3,7-dimethyl-1-propargylxanthine(RBI) 등이었으며, 이들중 hemicholinium-3, atropine 및 adenosine은 중류수에 나머지

약물들은 dimethylsulfoxide(DMSO)에 녹여 투여 직전 중류수로 희석하여 사용하였다.

모든 실험성적은 mean $\pm$ SEM으로 나타내었고, 각 실험군 간의 유의성 검정은 ANOVA test 후에 Student's t-test로 하였다.

## 결 과

### 1) Adenosine 및 8-cyclopentyl-1,3-di-propylxanthine(DPCPX)의 효과

<sup>3</sup>H-acetylcholine(ACh)의 전구물질인 <sup>3</sup>H-choline에 30분간 평형시킨 흰쥐 해마 조직을 choline 재흡수 차단제인 hemicholinium-3(10  $\mu$ M) 및 유리된 ACh에 의한 무스카린성 autoreceptor의 자극을 방지하기 위하여 30 nM의 atropine이 함유된 영양액을 관류시키면서 두번의 전기자극을 실시하였다. ACh 유리에 미치는 adenosine의 영향을 관찰한 실험의 대표적 1예를 Fig. 1에 나타내었으며, adenosine의 효과를 표 1에 종합하였다. Adeno-

sine 0.3에서 300  $\mu$ M은 기저유리에 별다른 변화 없이 투여용량 증대에 비례한 ACh 유리의 감소를 일으켰다.

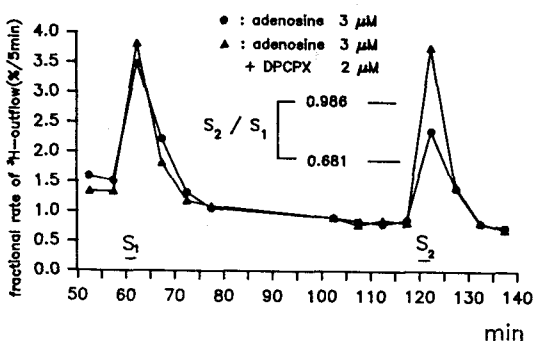
다음에는 A<sub>1</sub>-adenosine 수용체의 선택적 차단제인 DPCPX(Brunns 등, 1987)의 adenosine 효과에 미치는 영향을 관찰하였다. 먼저 DPCPX 2  $\mu$ M 그 자체로는 tritium 유리에 별다른 영향을 미치지 못하였으며(대조치: S<sub>2</sub>/S<sub>1</sub>=0.836 $\pm$ 0.025, n=17, DPCPX 2  $\mu$ M; S<sub>2</sub>/S<sub>1</sub>=0.870 $\pm$ 0.025, n=7), DPCPX 존재하에서는 adenosine의 효과가 뚜렷이 차단됨을 볼 수 있었다(Fig. 1, 2).

### 2) N<sup>6</sup>-cyclopentyladenosine(CPA)와 DPCPX의 효과

다음에는 A<sub>1</sub>-adenosine 수용체에 선택적 홍분약물로 알려진 CPA(Williams 등, 1986)의 효과와 DPCPX존재하에서 CPA의 효과를 관찰하였다.

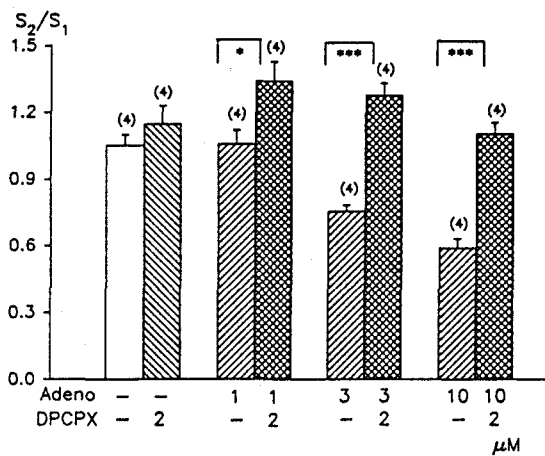
**Table 1.** Effect of adenosine on the electrically-evoked and basal outflows of tritium from the rat hippocampal slices preincubated with <sup>3</sup>H-choline

Drugs before S <sub>2</sub> ( $\mu$ M)	n	S <sub>2</sub> /S <sub>1</sub>	b <sub>2</sub> /b <sub>1</sub>
none	7	1.055 $\pm$ 0.026	0.633 $\pm$ 0.023
0.3	4	1.077 $\pm$ 0.025	0.626 $\pm$ 0.071
1.0	4	0.952 $\pm$ 0.037	0.670 $\pm$ 0.033
3.0	4	0.640 $\pm$ 0.086**	0.623 $\pm$ 0.066
10.0	4	0.526 $\pm$ 0.069***	0.712 $\pm$ 0.029
30.0	7	0.402 $\pm$ 0.034***	0.687 $\pm$ 0.035
100.0	7	0.323 $\pm$ 0.021***	0.683 $\pm$ 0.028
300.0	6	0.315 $\pm$ 0.060***	0.774 $\pm$ 0.060

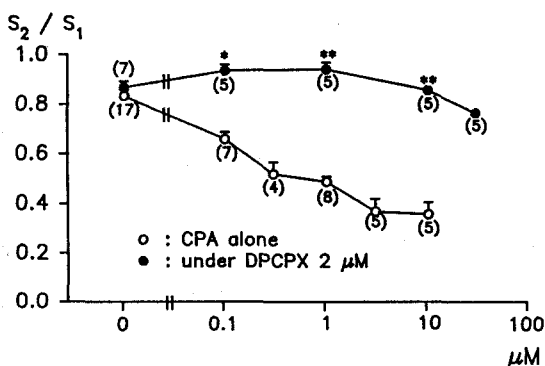


**Fig. 1.** A typical presentation of the tritium-outflow from the rat hippocampal slice preincubated with <sup>3</sup>H-choline. The slices were electrically stimulated twice for 2min each, after 60 and 120 min of superfusion(S<sub>1</sub>, S<sub>2</sub>). The drug effect on the stimulation-evoked tritium outflow is expressed by the ratio S<sub>2</sub>/S<sub>1</sub>. The radioactivity of the tissues at the start of experiment were 0.751(●) and 0.819(▲)pmol. Adenosine and 8-cyclopentyl-1, 3-dipropylxanthine(DPCPX) were added 15 min before S<sub>2</sub>.

After preincubation, the slices were superfused with medium containing hemicholinium-3(10  $\mu$ M) & atropine (30nM) and stimulated twice(S<sub>1</sub>, S<sub>2</sub>). Drugs were present from 15 min before S<sub>2</sub> onwards at the concentrations indicated. Drug effects on basal outflow are expressed as the ratio b<sub>2</sub>/b<sub>1</sub> between fractional rates of outflow immediately before S<sub>2</sub>(95~100min) and before S<sub>1</sub>(55~60min). Mean  $\pm$ SEM from number(n) of observations are given. Significant differences from the drug-free control are marked with asterisks(\*\*=p<0.01 and \*\*\*=p<0.001).



**Fig. 2.** Influence of 8-cyclopentyl-1,3-dipropylxanthine(DPCPX) on the effect of adenosine (Adeno) on the electrically-evoked tritium-outflow from the rat hippocampal slices. In parentheses are the number of experiments. Both drugs were added to the medium 15 min before  $S_2$ . Asterisks indicate the significant difference ( $* = p < 0.05$  and  $*** = p < 0.001$ ) between groups.



**Fig. 3.** Influence of DPCPX on the effect of N<sup>6</sup>-cyclopentyladenosine(CPA) on the electrically-evoked tritium-outflow from the rat hippocampus. Each point denotes mean  $\pm$  SEM, but the SEM smaller than the width of the points are not shown. In parentheses are the number of experiments. Asterisks indicate the significant difference between both groups ( $* = p < 0.01$  and  $** = p < 0.001$ ).

**Table 2.** Effect of 5-(N-cyclopropyl)-carboxamido-adenosine(CPCA) on the electrically-evoked and basal tritium-outflows from the rat hippocampal slices preincubated with <sup>3</sup>H-choline

Drugs at $S_2$ ( $\mu M$ )	n	$S_2/S_1$ (% of control)	$b_2/b_1$
none	7	100.00 $\pm$ 2.46	100.00 $\pm$ 3.47
CPCA			
3.0	4	67.28 $\pm$ 0.69***	107.51 $\pm$ 2.03
1.0	4	66.49 $\pm$ 2.81***	102.74 $\pm$ 2.54
3.0	4	40.34 $\pm$ 3.80***	119.07 $\pm$ 6.15*
10.0	4	29.24 $\pm$ 1.40***	110.11 $\pm$ 1.60*
30.0	4	33.90 $\pm$ 2.49***	121.01 $\pm$ 3.30**

Significant differences from the drug-free control are marked with asterisks (\* =  $p < 0.05$ , \*\* =  $p < 0.01$  and \*\*\* =  $p < 0.001$ ). Other legends are the same as in 1.

CPA는 투여량에 비례한 ACh 유리의 감소를 일으켰으며 이러한 효과는 DPCPX에 의해 완전히 차단되어 용량-반응 곡선이 우측으로 이동됨을 볼 수 있었다(Fig. 3).

### 3) A<sub>2</sub>-adenosine 수용체 작용약물들의 효과

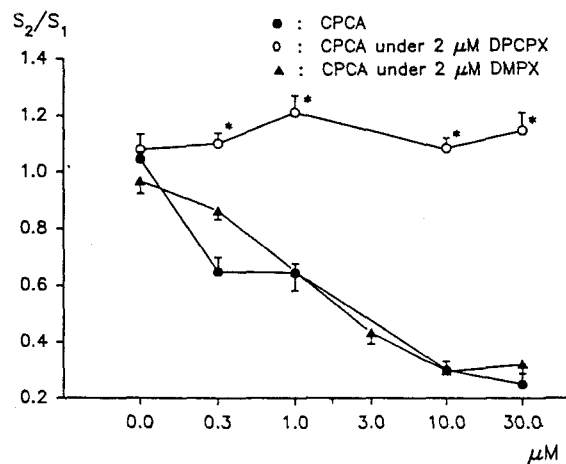
다음에는 A<sub>2</sub>-adenosine 수용체 홍분약물인 5-(N-cyclopropyl)-carboxamidoadenosine(CPCA) (Bruns 등, 1986)의 효과를 관찰하였다(Table 2). CPCA 0.3에서 30  $\mu M$ 까지 약 세배씩 증량시킴에 따라 통계적으로 유의한 ACh유리의 감소를 일으켰고 이때 3  $\mu M$ 이상의 농도에서는 기저유리의 증가를 나타냄을 볼 수 있었다.

다음은 A<sub>2</sub>-adenosine 수용체의 선택적 차단제인 3,7-dimethyl-1-propargylxanthine(DMPX)(Sebastião and Ribeiro, 1989)의 효과를 관찰하였다 (Table 3). DMPX 5, 10  $\mu M$ 은 ACh 유리 증가를 일으켰으며 기저유리 또한 증가됨을 볼 수 있었다. 도표 4에서는 CPCA의 효과를 DPCPX 및 DMPX 존재하에서 관찰한 것을 종합하였다.

**Table 3.** Effect of 3,7-dimethyl-1-propargylxanthine (DMPX) on the electrically-evoked and basal tritium-outflows from the rat hippocampal slices preincubated with  $^3\text{H}$ -choline

Drugs at S <sub>2</sub> ( $\mu\text{M}$ )	n	S <sub>2</sub> /S <sub>1</sub> (% of control)	b <sub>2</sub> /b <sub>1</sub>
none	8	100.00 $\pm$ 2.40	100.00 $\pm$ 3.57
DMPX			
1.0	4	93.26 $\pm$ 7.58	113.28 $\pm$ 2.54*
2.0	8	92.64 $\pm$ 4.29	114.27 $\pm$ 5.08
5.0	7	111.71 $\pm$ 3.32*	112.57 $\pm$ 3.23*
10.0	4	118.31 $\pm$ 5.31*	132.13 $\pm$ 5.43***

Legends are the same as in Table 1.

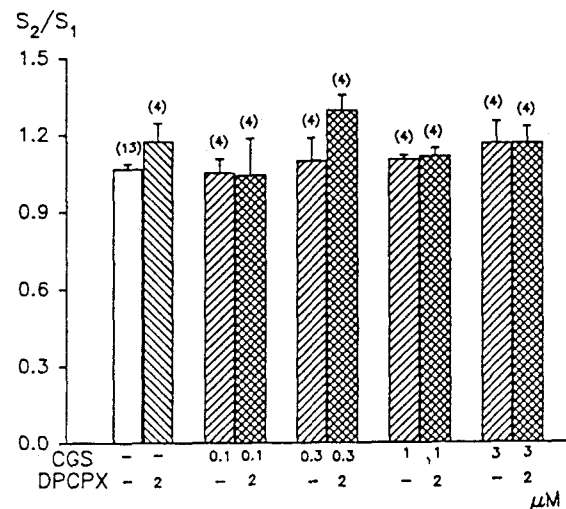


**Fig. 4.** Influence of DPCPX(2  $\mu\text{M}$ ) and DMPX (2  $\mu\text{M}$ ) on the effect of CPCA on the electrically-evoked tritium-outflow from the rat hippocampus. Each point denotes mean  $\pm$  SEM. Number of experiments per group were 4~8. Asterisks indicate the significant difference from control (CPCA) groups(\*= $p < 0.001$ ).

**Table 4.** Effect of CGS 21680C(CGS) on the electrically-evoked and basal tritium-outflows from the rat hippocampal slices preincubated with  $^3\text{H}$ -choline

Drugs at S <sub>2</sub> ( $\mu\text{M}$ )	n	S <sub>2</sub> /S <sub>1</sub>	b <sub>2</sub> /b <sub>1</sub>
none	13	1.067 $\pm$ 0.019	0.667 $\pm$ 0.015
CGS			
0.1	4	1.052 $\pm$ 0.053	0.669 $\pm$ 0.008
0.3	8	1.096 $\pm$ 0.043	0.683 $\pm$ 0.014
1.0	7	1.141 $\pm$ 0.035	0.730 $\pm$ 0.052
3.0	7	1.057 $\pm$ 0.057	0.702 $\pm$ 0.029
10.0	4	0.998 $\pm$ 0.050	0.733 $\pm$ 0.033

Legends are the same as in Table 1.



**Fig. 5.** Influence of DPCPX on the effect of CGS 21680(CGS) on the electrically-evoked tritium-outflow from the rat hippocampus. Other legends are the same as in previous figures.

CPCA의 효과는 DMPX에 의해서 전혀 영향을 받지 않았으나 DPCPX에 의하여는 완전히 차단되어 용량반응 곡선이 우측으로 이동됨을 볼 수 있었다.

한편 최근 A<sub>2</sub>-adenosine 수용체의 강력한 흥분

제로 알려진 CGS 21680C(Hutchison 등, 1989)은 그 자체로 ACh유리에 별다른 영향을 미치지 못하였으며(Table 4), A<sub>1</sub>-수용체 차단제인 DPCPX 존재하에서도 별다른 영향을 미치지 못함을 알 수 있었다(Fig. 5).

## 고 칠

본 연구에서 adenosine 및 A<sub>1</sub>-adenosine 수용체의 선택적 흥분약물인 N<sup>6</sup>-cyclopentyladenosine(CPA)은 <sup>3</sup>H-choline을 흡수시킨 흰쥐 해마 조직에서 전기자극으로 유발된 ACh 유리를 용량의존적으로 억제시켰으며, 그 효력은 CPA가 adenosine 보다 훨씬 강함을 볼 수 있었다. 또한 A<sub>1</sub>-adenosine 수용체의 선택적 차단약물인 DPCPX는 그 자체로 약간의 ACh 유리 증가를 일으킴을 볼 수 있었고 adenosine 및 CPA의 효과가 DPCPX에 의해 완전히 소실됨을 볼 수 있었다. 이러한 결과는 다른 연구자들의 보고들(Duner-Engström and Fredholm, 1988; Choi 등 1992)과 일치하는 것으로서 본 실험에서의 adenosine은 adenosine 수용체중 A<sub>1</sub>-아형을 통하여 ACh 유리의 감소를 일으킨다 할 수 있겠다.

중추신경계에는 말초 조직에서와 마찬가지로 A<sub>2</sub>-수용체의 존재가 알려졌으나(Williams, 1989; Bruns, 1990), 해마조직에서의 A<sub>2</sub>-아형의 존재는 아직 확실하지 않다. Fredholm 등(1982, 1983, 1986a)은 해마에서 cAMP 농도를 감소 및 증가시키는 두가지 형태의 adenosine 수용체가 모두 존재한다 하였으나, Yeung과 Green(1984)은 조직균질액을 이용한 실험에서 흰쥐 선조체에는 A<sub>1</sub>- 및 A<sub>2</sub>-수용체 모두 존재하나, 해마에는 A<sub>1</sub>-수용체만 존재한다고 하였다. 한편 Spignoli 등(1984)은 흰쥐 뇌피질에서 A<sub>2</sub>-선택적 흥분약물인 5'-N-ethyl-carboxamidoadenosine은 ACh 유리 증가를 A<sub>1</sub>-선택적 흥분약물인 N<sup>6</sup>-cyclohexyladenosine은 ACh 유리감소를 일으킴을 관찰하여 두가지 형의 adenosine 수용체가 ACh 유리를 조절한다고 한 바 있다. 본 연구에서 A<sub>2</sub>-선택적 흥분약물인 5-(N-cyclopropyl)-carboxamidoadenosine(CPCA)은 자극에 의해 유발된 ACh 유리를 감소시켰으며, 이러한 효과는 A<sub>1</sub>-선택적 차단물질인 DPCPX에 의해 완전히 차단되었으나 A<sub>2</sub>-선택적 차단약물인 DMPX에 의하여는 전혀 영향을 받지 않았다. 또

한 최근 소개된 A<sub>1</sub>-수용체에 비해 A<sub>2</sub>-수용체에 훨씬 강하게 작용을 나타내는 CGS 21680C는 그 자체로 아무런 영향을 나타내지 못함을 알 수 있었다. 따라서 이러한 결과를 Yeung과 Green 등(1984)의 견해에 비추어 고찰하여 볼때 해마의 쿠린작동성 신경말단의 기능적인 역할에는 A<sub>1</sub>-adenosine 수용체만이 존재할 것으로 추측할 수 있다.

Adenosine 수용체중에서 A<sub>1</sub>-아형은 adenylate cyclase를 억제, A<sub>2</sub>-아형은 활성화시켜 세포내 cAMP농도를 변화시킬 수 있음을 이미 잘 알려진 사실이다(Van Calker 등, 1979; Londos 등, 1980). 최근 Starke(1987)는 forskolin 등의 adenylate cyclase 활성화제, phosphodiesterase 억제제 및 cAMP 유사체들이 전기자극에 의한 NE 유리증가를 일으킴을 관찰하고 세포내 cAMP 농도 변화가 신경전달물질의 유리에 중요한 역할을 할 수 있다고 하였으며, Choi 등은 토키(1991) 및 쥐(1992)의 해마조직에서 forskolin에 의해 ACh 유리증가가 일어남을 관찰하여 Starke(1987)의 주장은 뒷받침 한 바 있다. 이러한 사실들을 Fredholm과 Lindgren(1987)의 쥐 해마조직에서 A<sub>2</sub>-수용체 자극시 세포내 cAMP 농도가 증가한다는 보고 등과 아울러 고찰하여 보면, 쥐 해마조직에서 A<sub>2</sub>-수용체 자극시 ACh 유리가 증가 할 수 있으리라는 것을 가정하여 볼 수 있다. 본 연구에서 이러한 가정을 확인하고자 하였던 바, A<sub>1</sub>-수용체의 선택적 차단제인 DPCPX의 대량에서 약간의 ACh 유리 증가가 일어났을 뿐 A<sub>2</sub> 흥분약물인 CPCA에 의해 ACh 유리가 오히려 감소하였고, CPCA의 효과가 오히려 A<sub>1</sub>-차단약물인 DPCPX 전처리에 의해 차단되며, 더우기 최근 A<sub>2</sub>에 대한 친화력이 A<sub>1</sub>에 비해 140 배 정도 강하다는 CGS는 ACh 유리에 전혀 영향을 미치지 못함을 관찰할 수 있었다. 그러나 Bartrup과 Stone(1988)의 adenosine에 의한 A<sub>1</sub>-자극효과가 차단된다면 A<sub>2</sub>-수용체의 효과가 발현될 수 있다는 보고도 있어 본 연구에서도 A<sub>1</sub>-수용체의 차단후에 CGS의 효과를 관찰하였으나 그 영향은 전혀 나타나지 않았음

을 관찰할 수 있었다.

따라서 본 연구의 결과로는 쥐 해마조직에서 A<sub>2</sub>-수용체의 존재를 부정할 수는 없으나 적어도 ACh 유리에는 A<sub>2</sub>-수용체가 직접적으로 관여하지 않는 것으로 사료된다.

## 결 론

본 연구는 해마(hippocampus)에서 acetylcholine (ACh) 유리에 미치는 adenosine 및 그 수용체의 역할을 구명하기 위하여 [<sup>3</sup>H]-choline으로 평형시킨 해마조직을 사용하여 [<sup>3</sup>H]-ACh(이하 ACh) 유리에 미치는 adenosine 및 이와 관련된 여러가지 약물들의 영향을 관찰하였다.

Adenosine(0.3~300 μM) 및 N<sup>6</sup>-cyclopentyladenosine(CPA, 0.1~100 μM)은 전기 자극(3 Hz, 5 Vcm<sup>-1</sup>, 2 ms, 구형파)에 의한 ACh 유리를 용량의존적으로 감소시켰다. A<sub>1</sub>-adenosine 수용체 차단제인 8-cyclopentyl-1, 3-dipropylxanthine(DPCPX, 1~10 μM)은 용량의존적으로 ACh 유리를 증가시켰으며, adenosine 및 CPA의 효과는 2 μM DPCPX에 의해 차단됨을 볼 수 있었다.

A<sub>2</sub>-수용체 흥분약물인 5-(N-cyclopropyl)-carboxamidoadenosine(CPCA, 0.3~30 μM) 역시 자극에 의한 ACh 유리를 용량의존적으로 감소시켰으며, 이 역시 2 μM DPCPX 동시투여시 그 효과가 차단됨을 관찰할 수 있었다. 또한 CPCA는 A<sub>2</sub>-수용체 차단약물인 3,7-dimethyl-1-propargylxanthine(DMPX)에 의해 영향을 받지 않았으며, 다른 강력한 A<sub>2</sub>-수용체 흥분약물인 CGS 21680C(0.1~10 μM)는 ACh 유리에 별다른 영향을 미치지 않았다.

이상의 실험결과 adenosine은 흰쥐 해마의 콜린작동성 신경 전연접부 말단의 A<sub>1</sub>-adenosine heteroreceptor를 통하여 ACh 유리감소를 일으키며 ACh 유리에 A<sub>2</sub>-adenosine 수용체의 관여는 없는 것으로 사료된다.

## 참 고 문 헌

- Bartrup JT and Stone TW: *Interactions of adenosine and magnesium on rat hippocampal slices. Brain Res* 463: 374-379, 1988
- Brunns RF, Lu GH and Pugsley TA: *Characterization of the A<sub>2</sub> adenosine receptor labelled by [<sup>3</sup>H]NECA in rat striatal membranes. Mol Pharmacol* 29: 331-346, 1986
- Brunns RF, Fergus JH, Badger EW, Bristol JA, Santay LA, Hartman JD, Hays SJ and Huang CC: *Binding of the A<sub>1</sub>-selective adenosine antagonist 8-cyclopentyl-1,3-dipropylxanthine to rat brain membranes. Naunyn-Schmiedeberg's Arch Pharmacol* 335: 59-63, 1987
- Brunns RF: *Structure activity relationships for adenosine antagonists. In: Purines in Cellular Signalling Targets for New Drugs*(Jacobson KA., Daly JW. and Mangiello V., eds), New York, Springer-Verlag, pp 126-135, 1990
- Choi BK, Kim CS, Yoon YB and Kook YJ: *Interaction of forskolin with the effect of oxotremorine on [<sup>3</sup>H]-acetylcholine release in rabbit hippocampus. Korean J Pharmacol* 27: 89-97, 1991
- Choi BK, Park HM, Kagn YW and Kook YJ: *Interaction of forskolin with the effect of N<sup>6</sup>-cyclopentyladenosine on [<sup>3</sup>H]-acetylcholine release in rat hippocampus. Korean J Pharmacol* 28: 129-136, 1992
- Daly JW, Butts-Lamb P and Padgett W: *Subclasses of adenosine receptors in the central nervous system: Interaction with caffeine and related methylxanthines. Cell Mol Neurobiol* 3: 69-80, 1983
- Duner-Engström M and Fredholm BB: *Evidence that prejunctional adenosine receptors regulating acetylcholine release from rat hippocampal slices are linked to a N-ethylmaleimide-sensitive G-protein, but not to adenylyl cyclase or dihydropyridine-sensitive Ca<sup>2+</sup>-channels. Acta Physiol Scand* 134: 119-126, 1988
- Fredholm BB: *Adenosine receptors. Med Biol* 60: 289-293, 1982

- Fredholm BB, Jonzon B and Lindström K: *Adenosine receptor mediated increases and decreases in cyclic AMP in hippocampal slices treated with forskolin*. *Acta Physiol Scand* 117: 461-463, 1983
- Fredholm BB, Jonzon B and Lindström K: *Effect of adenosine receptor agonists and other compounds on cyclic AMP accumulation in forskolin-treated hippocampal slices*. *Naunyn-Schmiedeberg's Arch Pharmacol* 332: 173-178, 1986a
- Fredholm BB, Fastbom J and Lindgren E: *Effect of N-ethylmaleimide and forskolin on glutamate release from rat hippocampal slices. Evidence that prejunctional adenosine receptors are linked to N-proteins, but not to adenylyl cyclase*. *Acta Physiol Scand* 127: 381-386, 1986b
- Fredholm BB and Lindgren E: *Effect of N-ethylmaleimide and forskolin on noradrenaline release from rat hippocampal slices. Evidence that prejunctional adenosine and α-receptors are linked to N-proteins but not to adenylyl cyclase*. *Acta Physiol Scand* 130: 95-100, 1987
- Hamprecht B and Van Calker D: *Nomenclature of adenosine receptors*. *Trends Pharmacol Sci* 6: 153-154, 1985
- Hertting G, Zumstein A, Jackisch R, Hoffmann I and Starke K: *Modulation by endogenous dopamine of the release of acetylcholine in the caudate nucleus of the rabbit*. *Naunyn-Schmiedeberg's Arch Pharmacol* 315: 111-117, 1980
- Hertting G, Wuster S, Gebicke-Harter P and Allgaier C: *Paticipation of regulatory G-proteins and protein kinase C in the modulation of transmitter release in hippocampus. Modulation of synaptic transmission and plasticity in nervous system*. *NATO ASI Series* 19: 147-164, 1987
- Hutchison AJ, Webb RL, Oei HH, Ghai GR, Zimmerman GB and Williams M: *CGS 21680C, an A<sub>2</sub> selective adenosine receptor agonist with preferential hypotensive activity*. *J Pharmacol Exp Ther* 251: 47-55, 1989
- Jackisch R, Strittmatter H, Kasakov L and Hertting G: *Endogenous adenosine as a modulator of hippocampal acetylcholine release*. *Naunyn-Schmiedeberg's Arch Pharmacol* 327: 319-325, 1984
- Jackisch R, Fehr R and Hertting G: *Adenosine: an endogenous modulator of hippocampal noradrenaline release*. *Neuropharmacology* 24: 499-507, 1985
- Londos C, Cooper DMF and Wolff J: *Subclasses of external adenosine receptors*. *Proc Nat Acad Sci USA* 77: 2551-2554, 1980
- Sebastião AM Ribeiro JA; *1,3,8- and 1,3,7-substituted xanthines: relative potency as adenosine receptor antagonists at the frog neuromuscular junction*. *Br J Pharmacol* 96: 211-219, 1989
- Spignoli G, Pedata F and Pepeu G: *A<sub>1</sub> and A<sub>2</sub> adenosine receptors modulate acetylcholine release from brain slices*. *Eur J Pharmacol* 97: 341-342, 1984
- Starke K: *Presynaptic alpha-autoreceptors*. *Rev Physiol Biochem Pharmacol* 107: 73-146, 1987
- Stone GA, Jarvis MF, Sills MS, Weeks B, Snowhill EW and Williams M: *Species difference in high-affinity adenosine A<sub>2</sub> binding sites in striatal membranes from mammalian brain*. *Drug Dev Res* 15: 31-46, 1988
- Van Calker D, Muller M and Hamprecht B: *Adenosine regulates via two different types of receptors the accumulation of cyclic AMP in cultured brain cells*. *J Neurochem* 33: 999-1005, 1979
- Williams M, Braunwalder A and Erickson TJ: *Evaluation of the binding of the A<sub>1</sub> selective adenosine agonist, [<sup>3</sup>H]cyclopentyladenosine to rat brain membranes*. *Naunyn-Schmiedeberg's Arch Pharmacol* 332: 179-183, 1986
- Williams M: *Adenosine: The prototypic neuromodulator*. *Neurochem Int* 14: 249-264, 1989
- Yeung S-MH and Green RD: *[<sup>3</sup>H]5'-N-ethylcarboxamidoadenosine bind to both Ra and Ri adenosine receptors in the rat striatum*. *Naunyn-Schmiedeberg's Arch Pharmacol* 325: 218-225, 1984